

# ГЕОТЕХНІЧНА І ГІРНИЧА МЕХАНІКА, МАШИНОБУДУВАННЯ

УДК 622.242/.243

© Кожевников А.А., Филимоненко Н.Т., 2010

А.А. Кожевников, Н.Т. Филимоненко

## ИССЛЕДОВАНИЕ АМПЛИТУДНО-ЧАСТОТНОЙ ХАРАКТЕРИСТИКИ ИМПУЛЬСНОЙ ПРОМЫВКИ СКВАЖИН

А.А. Kozhevnikov, N.T. Filimonenko

## STUDY OF AMPLITUDE-FREQUENCY FEATURE OF PULSED WASHING OF BORE HOLES

Впервые раскрыты параметры, позволяющие описать потоки жидкости применительно к каждому способу симметричной импульсной промывки скважин. Показаны характерные особенности изменения подачи жидкости при импульсной промывке скважин переменным, пульсирующим, прерывистым и реверсивным потоками жидкости. Исследована амплитудно-частотная характеристика переменного, пульсирующего, прерывистого и реверсивного потоков жидкости.

**Ключевые слова:** классификация, импульс, частота, амплитуда, скважина, промывка, жидкость

Научные исследования, проведенные в последние годы, показали, что импульсная промывка скважин эффективна как в процессе углубки скважины (способствуют лучшему разрушению горной породы подородоразрушающим инструментом, повышает эффективность удаления шлама из гидравлического контура скважины), так и вне технологического процесса углубки (улучшает эксплуатационные характеристики скважин при освоении нефтяных месторождений [1–4]). Поэтому не удивительно, что интерес к импульсной промывке скважин возрастает. Ранее авторами впервые приведены способы импульсной промывки скважины применительно к симметричным импульсам подачи, для которых характеристично постоянство по времени параметров циклов подачи. Согласно этой классификации импульсная промывка может быть реализована переменным, пульсирующим, прерывистым и реверсивным потоками жидкости.

Однако до настоящего времени не были установлены параметры, которые однозначно характеризовали бы конкретные способы импульсной промывки, устанавливали связь между ними и условия перехода одного способа в другой и, как следствие, не установлены конкретные характеристики потоков жидкости при разных способах импульсной промывки, степень их влияния на ее эффективность. Без этого невозможно системно исследовать импульсную промывку скважин, выбирать актуальные направления совершенствования технологии и технических средств для ее создания.

Цель настоящей статьи – предложить параметры, описывающие характерные особенности потоков

жидкости при симметричной импульсной промывке скважин и исследовать амплитудно-частотную характеристику (АЧХ) каждого ее способа.

Введем следующие коэффициенты, характеризующие импульсную промывку скважины.

1. Коэффициент импульсности  $k_{im}$  – это отношение амплитуды изменения подачи жидкости  $\Delta Q$  к максимальной подаче  $Q_{max}$

$$k_{im} | \div Q / Q_{max} . \quad (1)$$

2. Коэффициент стационарности  $k_{cm}$ . Показывает величину отношения минимальной подачи жидкости  $Q_{min}$  к максимальной.

$$k_{cm} | Q_{min} / Q_{max} . \quad (2)$$

Коэффициент импульсности и коэффициент стационарности – взаимосвязанные между собой параметры, поскольку

$$\begin{aligned} k_{im} | \div Q / Q_{max} | (Q_{max} - 4 Q_{min}) / Q_{max} | \\ 14 Q_{min} / Q_{max} | 14 k_{cm} . \end{aligned}$$

Откуда

$$k_{im} 2 k_{cm} | 1 .$$

Коэффициент стационарности также функционально связан с амплитудой подачи жидкости, так как

$$k_{cm} | Q_{min} / Q_{max} | (Q_{max} - 4 \div Q) / Q_{max} | 14 \div Q / Q_{max} .$$

На рис. 1. приведена закономерность изменения  $k_{cm}$  и  $k_{im}$  от  $\Delta Q$ . Исследуем формулу (1).

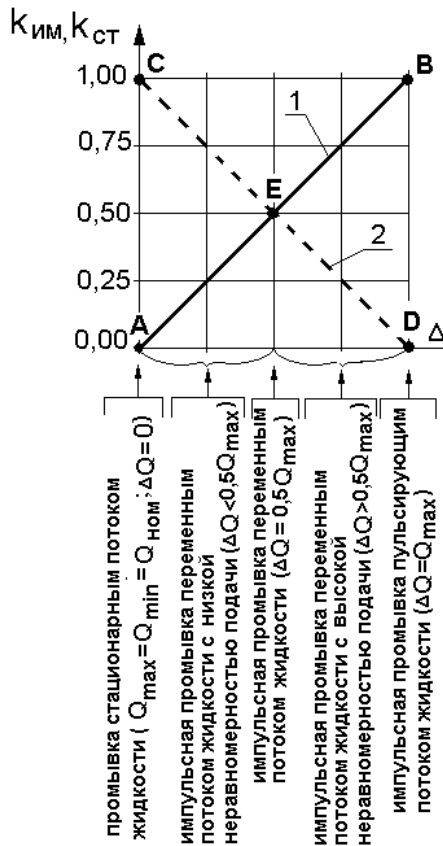


Рис. 1. Залежності  $k_{im}$  і  $k_{cm}$  від  $\Delta Q$ : 1 –  $k_{im} = f(\Delta Q)$ ; 2 –  $k_{cm} = f(\Delta Q)$

При  $\Delta Q = 0$  имеем  $k_{im} = 0/Q_{max} = 0$ . При  $\Delta Q = Q_{max}$  значение  $k_{im} = Q_{max}/Q_{max} = 1$ . Изменение  $k_{im}$  от 0 до 1 характеризуется графиком 1  $k_{im} = f(\Delta Q)$ .

Исследуем формулу (2). При  $Q_{min} = 0$  значение  $k_{cm} = 0/Q_{max} = 0$ . При  $Q_{min} = Q_{max}$  величина  $k_{cm} = Q_{max}/Q_{max} = 1$ . Изменение  $k_{cm}$  от 1 до 0 иллюстрируется графиком 2  $k_{cm} = f(\Delta Q)$ .

Точка А на графике 1 (в ней  $k_{im} = 0$ ) и точка С на графике 2 (в ней  $k_{cm} = 1$ ) характеризуют промывку скважини стационарним потоком жidкости.

С возрастанием  $k_{im}$  от 0 до 0,5 (участок между точками А и Е на графике 1 и убыванием  $k_{cm}$  от 1 до 0,5 (участок между точками С и Е на графике 2 промывка скважини из стационарной переходить в *переменную промывку с низкою неравномерностью подачи жidкости*: прямую (рис. 2, а) или обратную (рис. 2, б). При этом  $\Delta Q \in [1/2Q_{max}, 41/2Q_{max}]$  соответственно при прямой или обратной промывке.

В точке Е зависимости 1 и 2 пересекаются. Эта точка характеризует *переменную промывку с одинаковим значением*  $k_{im}$  и  $k_{cm}$ , равным 0,5. При этом  $\Delta Q \in [1/2Q_{max}, 41/2Q_{max}]$  (для прямой промывки (рис. 2, в)) и  $\Delta Q \in [41/2Q_{max}, 1/2Q_{max}]$  (для обратной промывки (рис. 2, г)).

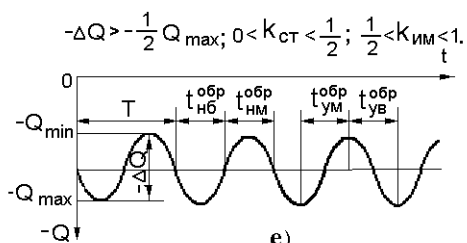
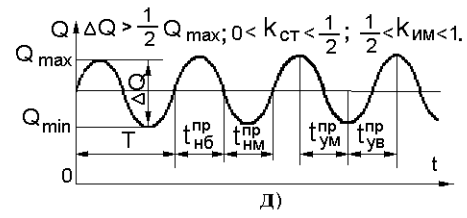
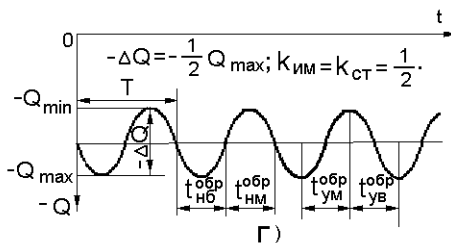
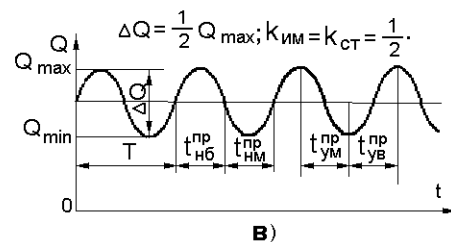
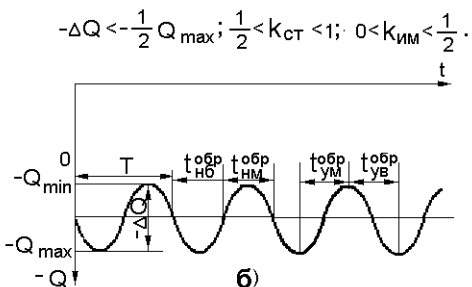
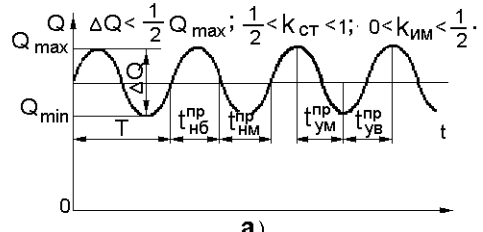


Рис. 2. Импульсная промывка скважини: пряма с низкою неравномерностью подачи (а); обратна с низкою неравномерностью подачи (б); пряма с рівною величиною  $k_{im}$  та  $k_{cm}$  (в); обратна с рівною величиною  $k_{im}$  та  $k_{cm}$  (г); пряма с високою неравномерностью подачи (д); обратна с високою неравномерностью подачи (е)

С возрастанием  $k_{im}$  от 0,5 до 1,0 (участок между точками  $E$  и  $B$  на графике 1 и убыванием  $k_{cm}$  от 0,5 до 0 (участок между точками  $E$  и  $D$  на графике 2 (рис. 1) промывка переходит в *переменную с высокой степенью неравномерности подачи* прямую (рис. 2,  $\delta$ ) или обратную (рис. 2,  $e$ ). Высокая неравномерность подачи будет при условии, когда  $\Delta Q \geq 1/2 Q_{max}$  (прямая промывка) или при условии, когда  $4 \Delta Q \geq 41/2 Q_{max}$  (обратная промывка).

На рис. 2 кроме типов импульсной переменной промывки показаны также ее фазы за цикл подачи, например:  $t_{ub}^{np}$  – фаза наибольшей подачи при прямой промывке;  $t_{um}^{obr}$  – фаза наименьшей подачи при обратной промывке;  $t_{yb}^{np}$  – фаза увеличения подачи при прямой промывке;  $t_{ym}^{obr}$  – фаза уменьшения подачи при обратной промывке.

В точке  $B$  на графике  $k_{im} = f(\Delta Q)$  (рис. 1)  $k_{im} = 1$ , а в точке  $D$  на графике  $k_{cm} = f(\Delta Q)$   $k_{cm} = 0$ .

Таким образом, точки  $B$  и  $D$  характеризуют переход прямой или обратной импульсной переменной промывки соответственно в *прямую пульсирующую* ( $\Delta Q = Q_{max}$  (рис. 3,  $a$ )), или *обратную пульсирующую* ( $-\Delta Q = -Q_{max}$  (рис. 3,  $b$ )).

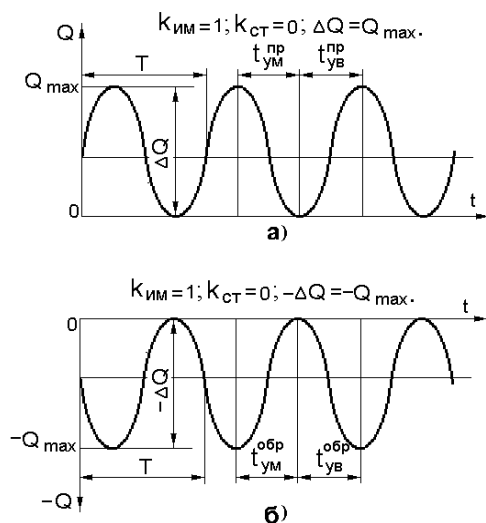


Рис. 3. Пульсирующая промывка скважини: пряма (а); обратна (б)

С появлением пауз между импульсами подачи жидкости импульсная промывка становится *прерывистой*. Введем коэффициент, характеризующий импульсную прерывистую промывку скважины.

3. Коэффициент прерывистости  $k_{np}$  показывает величину отношения продолжительности паузы между подачей жидкости  $t_{паузы}$  ко времени подачи  $t_{подачи}$

$$k_{np} | t_{паузы} / t_{подачи} . \quad (3)$$

Исследуем формулу (3). На рис. 4 показана закономерность изменения  $k_{np}$  от  $t_{паузы}$ .

В точке  $A$  на графике  $k_{np} = f(t_{паузы})$  значение  $k_{np}$  равно 0, поскольку  $t_{паузы} = 0$ . Это характеризует переход от прерывистой промывки скважины в пульсирующую прямую (рис. 3,  $a$ ) или обратную (рис. 3,  $b$ ) промывку.

С возрастанием  $k_{np}$  от 0 до 1,0 (участок от точки  $A$  до точки  $B$  на графике  $k_{np} = f(t_{паузы})$ ) (рис. 4) промывка переходит от пульсирующей в *прямую малопрерывистую* (рис. 5,  $a$ ) или *обратную малопрерывистую* (рис. 5,  $b$ ). На этом участке  $t_{паузы} < t_{подачи}$ .

В точке  $B$  (рис. 4)  $k_{np} = 1$ , поскольку  $t_{паузы} = t_{подачи}$ . Эта точка соответствует переходу малопрерывистой промывки в прерывистую прямую (рис. 5,  $a$ ) или обратную (рис. 5,  $b$ ) с равным значением  $t_{паузы}$  и  $t_{подачи}$ .

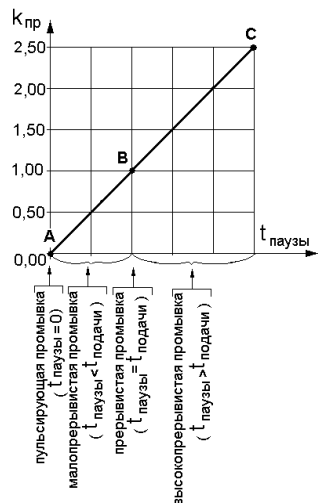


Рис. 4. Зависимость  $k_{np} = f(t_{паузы})$

При дальнейшем возрастании  $k_{np}$  от 1,0 (участок от точки  $B$  до точки  $C$  (следует отметить, что точка  $C$  на прямой, отражающей  $k_{np} = f(t_{паузы})$ , не ограничивает значение  $k_{np}$  (рис. 4)) промывка становится *высокопрерывистой прямой* (рис. 5,  $d$ ) или *высокопрерывистой обратной* (рис. 5,  $e$ ). На этом участке  $t_{паузы} > t_{подачи}$ .

Следующий из анализируемых способов импульсной промывки – *реверсивный*. Характеристика импульсных реверсивных промывок показана на рис. 6.

При наличии импульсной промывки скважин с реверсивным потоком жидкости, последний в течение периода изменения подачи  $T$  от  $Q_{max}$  до  $-Q_{max}$  изменяет свое направление. Отсутствие паузы между реверсированием потока жидкости характерно для *непрерывно-реверсивной промывки* (рис. 6,  $a$ ).

В том случае, когда после цикла подачи  $T$  следует пауза (при симметричной промывке продолжительность паузы одинакова), то это признак *реверсивно-прерывистой промывки* (рис. 6,  $b$ ).

Если пауза следует между подачей жидкости в прямом и обратном направлениях, то такая промывка называется *прерывисто-реверсивная* (рис. 6,  $c$ ).

Введем параметры, которые характеризуют реверсивную промывку скважины.

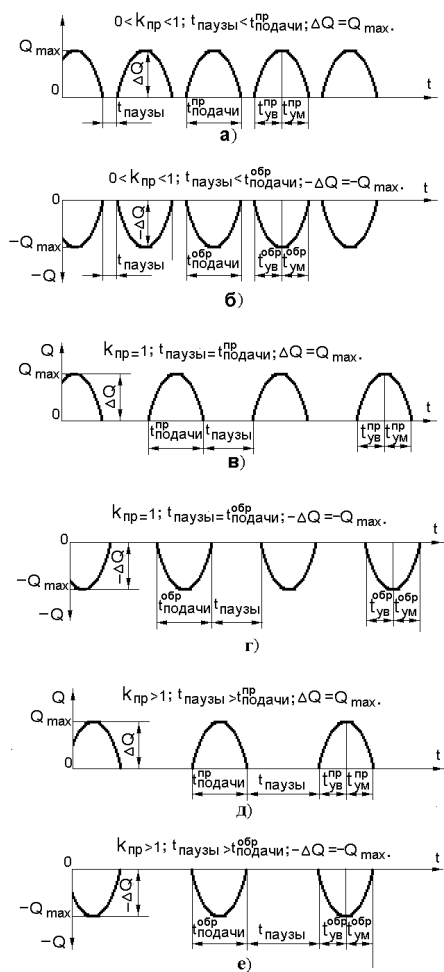


Рис. 5. Прерывистая промывка скважини: пряма малопрерывиста (а); обратна малопрерывиста (б); пряма прерывиста с рівною величиною  $t_{паузы}$  и  $t_{подачи}$  (в); обратна прерывиста с рівною величиною  $t_{паузы}$  и  $t_{подачи}$  (г); пряма високопрерывиста (д); обратна високопрерывиста (е)

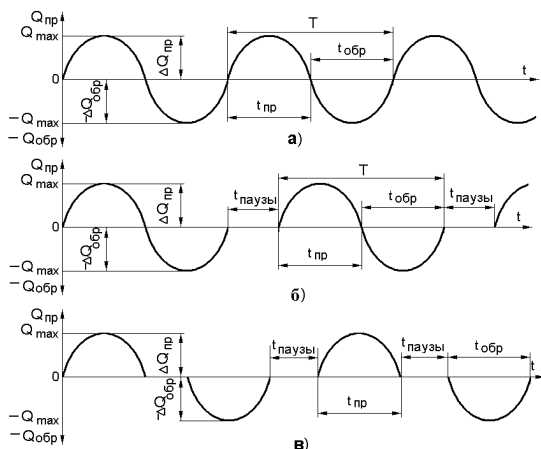


Рис. 6. Характеристика імпульсних реверсивних промивок: непреривно-реверсивна (а); реверсивно-прерывиста (б); прерывисто-реверсивна (в)

4. Коэффициент реверсивности по времени  $k_{pev}^t$  показывает величину отношения продолжительности подачи жидкости в прямом  $t_{np}$  и обратном  $t_{obr}$  направлениях

$$k_{pev}^t \mid t_{np} / t_{obr} . \quad (4)$$

Исследуем формулу (4). На рис. 7 показана закономерность изменения  $k_{pev}^t$  от  $t_{np}$ .

Точка А на графике  $k_{pev}^t = f(t_{np})$  характеризует прерывистую обратную промывку. В ней  $k_{pev}^t = 0$ , поскольку  $t_{np} = 0$ .

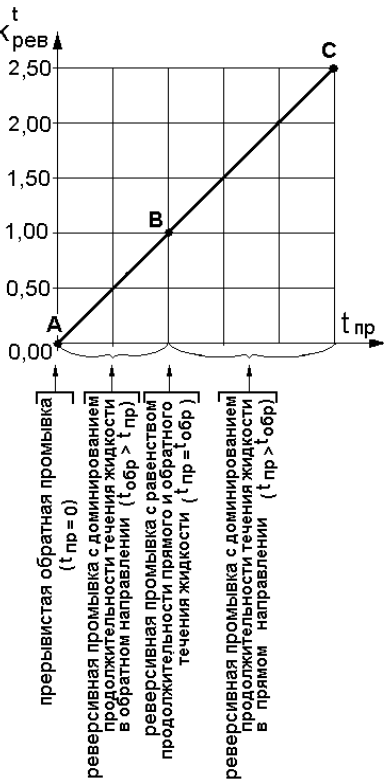


Рис. 7. Зависимость  $k_{pev}^t = f(t_{np})$

С увеличением  $k_{pev}^t$  от 0 до 1,0 (участок между точкой А и В на прямой, отражающей  $k_{pev}^t = f(t_{np})$ ), промывка переходит от прерывистой обратной в *реверсивную с доминированием обратного направления*. На этом участке  $t_{obr} > t_{np}$ .

В точке В на графике  $k_{pev}^t = f(t_{np})$  (рис. 7) значение  $k_{pev}^t$  становится равным единице, поскольку  $t_{np} = t_{obr}$ , что характерно для *реверсивной промывки с равенством продолжительности течения жидкости в прямом и обратном направлениях*.

При дальнейшем возрастании  $k_{pev}^t$  от 1,0 (участок от точки В до точки С (точка С на прямой, отражаю-

шої  $k_{peb}^t = f(t_{np})$ ), не обмежує значення  $k_{peb}^t$ ) в реверсивній промивці домінує пряме напрямлення течії жижки ( $t_{np} > t_{obr}$ ).

### 5. Кофіцієнт реверсивності по подачі $k_{peb}^Q$ .

Показує величину співвідношення подачі жижки в прямому  $Q_{np}$  і обертному  $Q_{obr}$  напрямленнях

$$k_{peb}^Q | Q_{np}/Q_{obr}. \quad (5)$$

Ісследуємо формулу (5). На рис. 8 показана закономірність змінення  $k_{peb}^Q$  від  $Q_{np}$ .

Точка А на залежності  $k_{peb}^Q = f(Q_{np})$  відповідає преривистій обертній промивці. В ній  $k_{peb}^Q = 0$ , оскільки  $Q_{np} = 0$ .

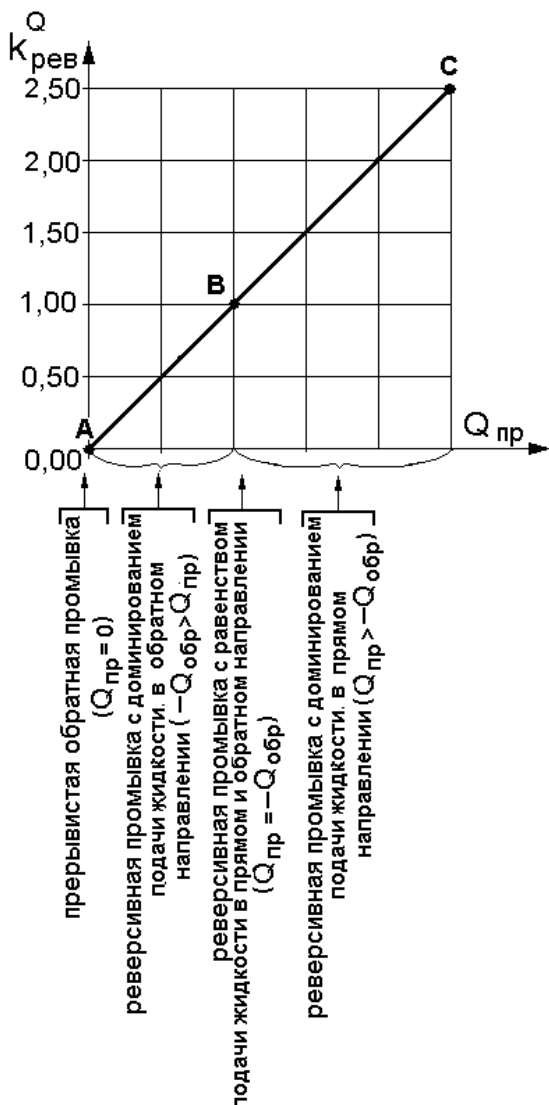


Рис. 8. Залежність  $k_{peb}^Q = f(Q_{np})$

С збільшенням  $k_{peb}^Q$  від 0 до 1,0 (участок від точки А до точки В на графіку  $k_{peb}^Q = f(Q_{np})$ ), преривиста обертна промивка переходить в реверсивну з домінуванням подачі жижки в обертному напрямленні. На цьому участку  $Q_{obr} > Q_{np}$ .

В точці В (рис. 8)  $k_{peb}^Q = 1$ , оскільки  $Q_{obr} = Q_{np}$  і поток стає реверсивним з рівненством подачі жижки в прямому і обертному напрямленнях.

При дальнішем зростанні  $k_{peb}^Q$  від 1,0 (участок від точки В до точки С (точка С на графіку  $k_{peb}^Q = f(Q_{np})$ ), не обмежує значення  $k_{peb}^Q$ ), в реверсивній промивці домінує подача жижки в прямому напрямленні ( $Q_{np} > Q_{obr}$ ).

Таким чином, реверсивність реверсивної промивки характеризують два параметри:  $k_{peb}^t$  і  $k_{peb}^Q$ . На рис. 9 показані типи імпульсної реверсивної промивки сважини.

В таблиці приведені способи, схеми і параметри імпульсних промивок сважини.

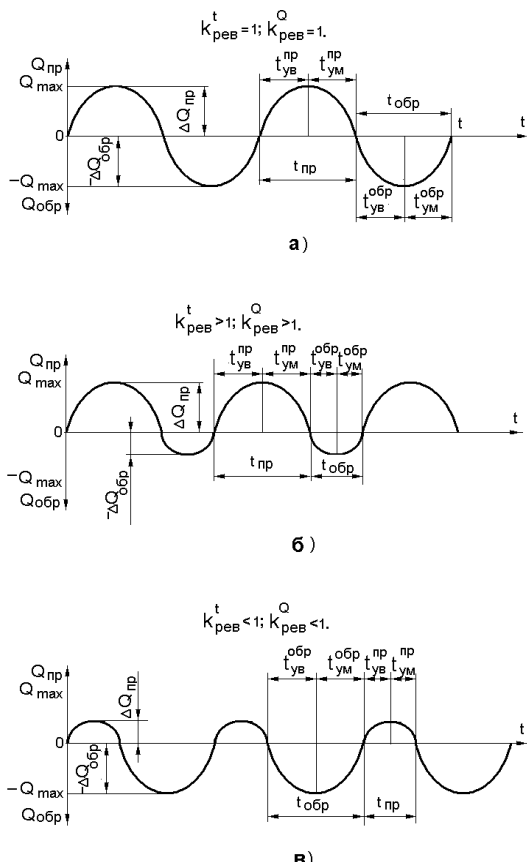


Рис. 9. Реверсивна промивка сважини: з рівненством в часі і подачі жижки в прямому і обертному напрямленнях (а); з домінуванням часу в прямому напрямленні (б); з домінуванням часу в обертному напрямленні (в)

Таблиця

Способи, схеми и параметри  
імпульсних промивок скважини

Способ промивки	Схема промивки	Параметри промивки
Переменна с низкою неравномернотю подачи	Прямая	$0 < k_{um} < 1/2; 1/2 < k_{cm} < 1; \Delta Q < 0,5Q_{max}$
	Обратная	$0 < k_{um} < 1/2; 1/2 < k_{cm} < 1; -\Delta Q < -1/2Q_{max}$
Переменна с рівною величиной $k_{um}$ и $k_{cm}$	Прямая	$k_{um}=k_{cm}=1/2; \Delta Q=1/2Q_{max}$
	Обратная	$k_{um}=k_{cm}=1/2; -\Delta Q=-1/2Q_{max}$
Переменна с високою неравномернотю подачи	Прямая	$1/2 < k_{um} < 1; 0 < k_{cm} < 1/2; \Delta Q > 0,5Q_{max}$
	Обратная	$1/2 < k_{um} < 1; 0 < k_{cm} < 1/2; -\Delta Q > -1/2Q_{max}$
Пульсируюча	Прямая	$k_{cm}=0; k_{um}=1; \Delta Q=Q_{max}$
	Обратная	$k_{cm}=0; k_{um}=1; -\Delta Q=-Q_{max}$
Малопрерывистая	Прямая	$0 < k_{np} < 1,0; t_{паузы} < t_{подачи}^{np}; \Delta Q=Q_{max}$
	Обратная	$0 < k_{np} < 1,0; t_{паузы} < t_{подачи}^{обр}; -\Delta Q=-Q_{max}$
Прерывистая с рівною величиной $t_{паузы}$ и $t_{подачи}$	Прямая	$k_{np}=1,0; t_{паузы} = t_{подачи}^{np}; \Delta Q=Q_{max}$
	Обратная	$k_{np}=1,0; t_{паузы} = t_{подачи}^{обр}; -\Delta Q=-Q_{max}$
Високопрерывистая	Прямая	$k_{np}>1,0; t_{паузы} > t_{подачи}^{np}; \Delta Q=Q_{max}$
	Обратная	$k_{np}>1,0; t_{паузы} > t_{подачи}^{обр}; -\Delta Q=-Q_{max}$
Реверсивна с рівнотю времен и подачи жидкості в прямом и обратном направлении		$k_{peb}^t=k_{peb}^Q=1,0; t_{np} = t_{обр}; Q_{np}=Q_{обр}$
Реверсивна с домінуванням времени и подачи жидкости в прямом направлении		$k_{peb}^t>1; k_{peb}^Q>1,0; t_{np} > t_{обр}; Q_{np}>Q_{обр}$
Реверсивна с домінуванням времени и подачи жидкости в обратном направлениях		$k_{peb}^t<1; k_{peb}^Q<1,0; t_{np} < t_{обр}; Q_{np}<Q_{обр}$

### Выводы:

- впервые предложены параметры, описывающие импульсный способ промывки скважин;
- предложенные параметры, позволили охарактеризовать каждый способ импульсной промывки скважин и установить связь между ними;
- исследована АЧХ импульсной промывки скважин с переменным, пульсирующим, прерывистым и реверсивным расходами жидкости.

### Список литератури

1. Кожевников А.А. Импульсные технологии бурения геологоразведочных скважин /А.А. Кожевников, С.В. Гошовский, И.И. Мартыненко – К.: УкрГГИ, 2003. – 208 с.
2. Фассахов Р.Х. Энергосбережение в гидроимпульсном воздействии на призабойную зону пласта /Р.Х. Фассахов, И.К. Файзуллин, Я.М. Сахапов и д.р. // Изв. вузов. Проблемы энергетики. – 2005. – №9–10. – С. 56–60.
3. Тунгусов С.А. Выбор рационального режима работы забойного пульсатора // Инженер-нефтяник. – 2008. – №3. – С. 26–27.
4. Тунгусов С.А. Изучение влияния пульсирующей промывки на вынос шлама при бурении наклонно направленных скважин // Строительство нефтяных и газовых скважин на суше и на море. – 2008. – №5. – С. 18–21.

Вперше розкрито параметри, що дозволяють диференціювати потоки рідини стосовно кожного способу симетричного імпульсного промивання свердловин. Наведено характерні особливості зміни подачі рідині при імпульсному промиванні свердловин змінним, пульсуючим, переривчастим і реверсивним потоками рідини. Досліджена аплітудно-частотна характеристика змінного, пульсуючого, переривчастого і реверсивного потоків рідини.

**Ключові слова:** класифікація, імпульс, частота, амплітуда, свердловина, промивання, рідина

It has been first exposed parameters allowing differentiating the streams of liquid in relation to every method of the symmetric impulsive washing of mining holes. It has been resulted the characteristic features of change of fluid supply for the impulsive washing of mining holes by means of variable, pulsating, irregular and reversible stream of liquid. The gain-frequency characteristic of variable, pulsating, irregular and reversible stream of liquid has been investigated.

**Keywords:** classification, impulse, frequency, amplitude, mining hole, washing, liquid

Рекомендовано до публікації д. т. н. В.П. Франчуком 18.05.10